

Szilárdtesttel kölcsönható lézertimpulzus karakterizálása a keltett áramok mérésével: elméleti modell

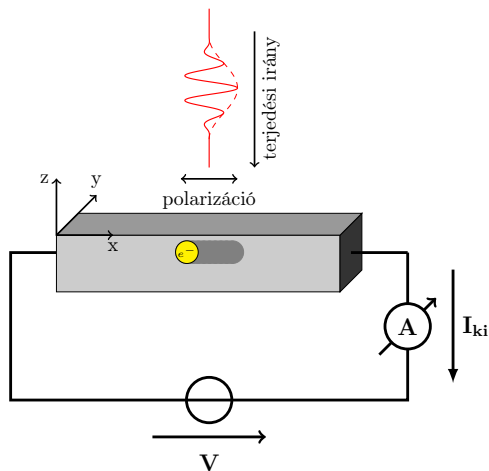
Készítette: Magashegyi István

Szegedi Tudományegyetem,
Természettudományi és Informatikai Kar,
Elméleti Fizikai Tanszék

2022. február 24.



A sematikus kísérleti elrendezés



Alapfeltevések

- az elektronok mozgását csak egydimenzióban (x irány) vizsgáljuk
- a lézerimpulzus hatására létrejövő külső elektromos tér vektorpotenciáljának is csak az x irányú komponensét vesszük figyelembe.
- Femtoszekundumos tartományba eső impulzushosszak és GV/m csúcstérerősségek
- rácsrezgésektől eltekintünk
- több elektronvoltnyi szélességű tiltott sávok is áthidalhatók közeli infravörös gerjesztéssel => "többfotonos" folyamatok,
- pl. kristályos ZnO és amorf SiO₂,
- az intenzív lézerimpulzusok a szilárdtestekben áramokat is létrehozhatnak,
- az áramok időben olyan gyorsan oszcillálnak, hogy azt a jelenlegi detektorok nem képesek feloldani,
- időintegráljuk – azaz a lézerimpulzus által elmozdított töltés – már mérhető

Egy-elektron közelítés

$$\hat{H} = \frac{(\hat{p} - e\mathbf{A})^2}{2m} + V(\mathbf{r}) = \hat{H}_0 + \hat{H}_1$$

ahol a külső tér mentes

$$\hat{H}_0 = \frac{\hat{p}^2}{2m} + V(\mathbf{r})$$

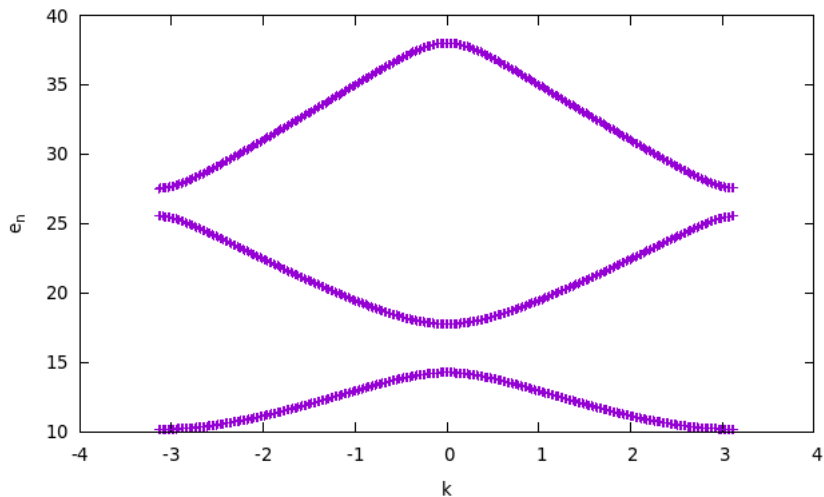
Bloch-állapotok:

$$\Psi_n(\mathbf{k}, \mathbf{r}) = \frac{1}{\sqrt{N}} u_n(\mathbf{k}, \mathbf{r}) e^{i\mathbf{k}\mathbf{r}},$$

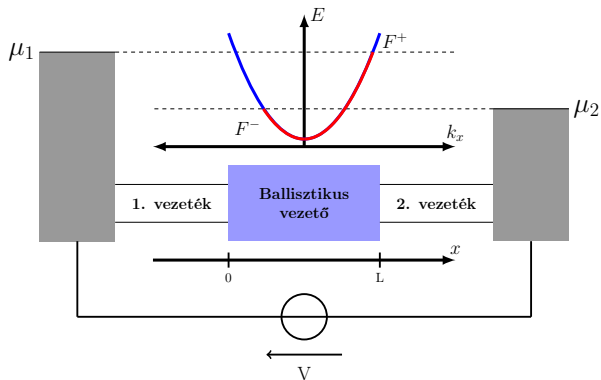
Az $u_n(\mathbf{k}, \mathbf{r})$ rács-periodikus függvények és az $\varepsilon_n(\mathbf{k})$ sajátenergiák a H_0 -ra felírt sajátérték egyenletből határozhatók meg.

$$\hat{H}_0 |\Psi_{n,\mathbf{k}}\rangle = \varepsilon_n(\mathbf{k}) |\Psi_{n,\mathbf{k}}\rangle$$

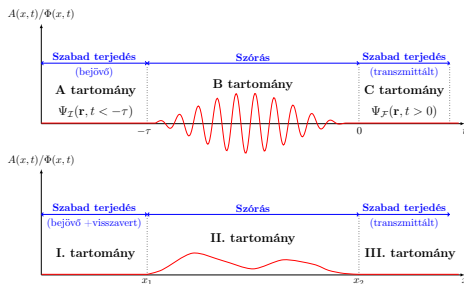
Egy-elektron közelítés



Modell



- kezdetben $t < -\tau$ a szilárdtest termikus egyensúlyban van \Rightarrow eredő áram nulla



- Kezdőállapot $\Psi_{\mathcal{I}}(\mathbf{r}, t < -\tau)$
- Az optikai gerjesztés hatására

$$\Psi_{\mathcal{F}}(\mathbf{r}, t = 0) = \Psi_{\mathcal{I}}(\mathbf{r}, t = 0) + \Psi_{\mathcal{A}}(\mathbf{r}, t = 0) \quad (1)$$

Térmentes időfejlődés

- $t = 0$ -ban kezdjük a töltés mérését
- $t < -\tau$ és $t > 0$ -ra külső tér mentes időfejlődés
- tetszőleges Φ energia sajátállapotra

$$\begin{aligned}\Phi(\mathbf{k}, \mathbf{r}, t) &= \Phi(\mathbf{k}, \mathbf{r}, t = 0) e^{-i\frac{\mathcal{E}(\mathbf{k})}{\hbar}t} \\ &= \Phi(\mathbf{k}, \mathbf{r}, 0) e^{-i\omega(\mathbf{k})t},\end{aligned}$$

ahol $\mathcal{E}(\mathbf{k}) = \hbar\omega(\mathbf{k})$.

- szabad potenciáltér \rightarrow síkhullám energia sajátállapotok, periodikus potenciáltér \rightarrow Bloch-energia sajátállapotok
- Kezdőállapot $\Psi_{\mathcal{I}}(\mathbf{r}, t) = \Psi_{n_0}(\mathbf{k}_0, \mathbf{r}, 0) e^{-i\frac{\varepsilon_{n_0}(\mathbf{k}_0)}{\hbar}t}$
- egyszerűség kedvéért:
valószínűségi áram \leftrightarrow áram, valószínűség \leftrightarrow töltés

Dinamika meghatározása a külső lézerimpulzus hatása alatt

Vektorpotenciál:

$$A(x, t) = A_0 f(x) g(t) = A_0 \sin^2 \left(\frac{\pi}{l} x \right) \sin^2 \left(\frac{\pi}{\tau} t \right) \sin(\omega_0 t), \quad (2)$$

ahol τ a lézerimpulzus időbeli hossza, l pedig a térbeli kiterjedése.

A szimulációk folyamán a lézerimpulzus

- időbeli hossza $\tau = 26,7 fs$ (10 teljes ciklus)
- központi körfrekvenciája $\lambda_0 = 800 nm$
- térbeli kiterjedése $l = 160 nm$

Dinamika meghatározása a külső lézerimpulzus hatása alatt

A rendszert leíró állapot: $|\Phi\rangle = \sum_{n,\mathbf{k}} c_{n,\mathbf{k}} |\Psi_{n,\mathbf{k}}\rangle$

TDSE:

$$i\hbar \frac{\partial}{\partial t} |\Phi\rangle = \hat{H} |\Phi\rangle = \hat{H}_0 |\Phi\rangle + \hat{H}_1 |\Phi\rangle$$

$$i\hbar \frac{\partial}{\partial t} |\Phi\rangle = \hat{H} |\Phi\rangle = \hat{H}_0 |\Phi\rangle + \hat{H}_1 |\Phi\rangle$$

$$i\hbar \langle \varphi_{m,\mathbf{q}} | \frac{\partial}{\partial t} |\Phi\rangle = \langle \varphi_{n,\mathbf{q}} | \hat{H}_0 |\Phi\rangle + \langle \varphi_{m,\mathbf{q}} | \hat{H}_1 |\Phi\rangle$$

$$\frac{\partial}{\partial t} c_{m,\mathbf{q}} = -\frac{i}{\hbar} \varepsilon_{m,\mathbf{q}} c_{m,\mathbf{q}} - \frac{i}{\hbar} \langle \varphi_{m,\mathbf{q}} | \hat{H}_1 |\Phi\rangle$$

Valószínűségi áram

$$\begin{aligned}j_{(x)}(\mathbf{r}, t) &= \frac{\hbar}{m} \operatorname{Im} \left\{ \Psi_{\mathcal{F}}^*(\mathbf{r}, t) \frac{\partial \Psi_{\mathcal{F}}(\mathbf{r}, t)}{\partial x} \right\} \\&= \frac{\hbar}{m} \operatorname{Im} \left\{ \Psi_{\mathcal{I}}^*(\mathbf{r}, t) \frac{\partial \Psi_{\mathcal{I}}(\mathbf{r}, t)}{\partial x} \right\} \\&\quad + \frac{\hbar}{m} \operatorname{Im} \left\{ \Psi_{\mathcal{A}}^*(\mathbf{r}, t) \frac{\partial \Psi_{\mathcal{A}}(\mathbf{r}, t)}{\partial x} \right\} \\&\quad + \frac{\hbar}{m} \operatorname{Im} \left\{ \Psi_{\mathcal{I}}^*(\mathbf{r}, t) \frac{\partial \Psi_{\mathcal{A}}(\mathbf{r}, t)}{\partial x} + \Psi_{\mathcal{A}}^*(\mathbf{r}, t) \frac{\partial \Psi_{\mathcal{I}}(\mathbf{r}, t)}{\partial x} \right\} \\&= j_{\mathcal{I}}(\mathbf{r}, t) + j_{\mathcal{A}}(\mathbf{r}, t) + j_{\mathcal{C}}(\mathbf{r}, t)\end{aligned}$$

Töltés

- tegyük fel $\mu_1 = \mu_2$
- $Q = \int_0^{\infty} j_{(x)}(\mathbf{r}, t) dt = Q_I + Q_d$
- a $Q_I = \int_0^{\infty} j_I(\mathbf{r}, t) dt$ töltés az ellentétes \mathbf{k} -jú tagok miatt kiesik,
- csak a

$$\begin{aligned} Q_d(\mathbf{r}, t \rightarrow \infty) &= Q_d(\mathbf{r}) = \int_0^{\infty} j_{(x)}(\mathbf{r}, t) - j_I(\mathbf{r}, t) dt \\ &= \underbrace{\int_0^{\infty} j_A(\mathbf{r}, t) dt}_{Q_a(\mathbf{r})} + \underbrace{\int_0^{\infty} j_C(\mathbf{r}, t) dt}_{Q_c(\mathbf{r})}. \end{aligned}$$

különbséget vizsgáljuk.

- kifejtjük a kezdeti és az additív dinamikát hordozó állapotokat az energia sajátállapotokon

$$\Psi_{\mathcal{A}}(\mathbf{r}, t) = \sum_{n, \underline{\mathbf{k}}} c_{n, \underline{\mathbf{k}}} \Psi_n(\underline{\mathbf{k}}, \mathbf{r}) e^{-i\varepsilon_n(n, \underline{\mathbf{k}})t} d\underline{\mathbf{k}}$$

- kezdeti állapot legyen $\Psi_{\mathcal{I}}(\mathbf{r}, t) = \Psi_{n_0}(\mathbf{k}_0, \mathbf{r}) \Rightarrow c_{n_0}(\mathbf{k}_0) = 1$

Analitikus számítások

- a kifejtést behelyettesítve például a Q_a

$$Q_a(x) = \frac{\hbar}{m} \operatorname{Im} \left\{ \sum_{n,n'} \int_0^\infty \int_{BZ} \int_{BZ} e^{-i[\omega_{n'}(k') - \omega_n(k)]t} \right. \\ \left. \times c_n^*(k) c_{n'}(k') \Psi_n^*(k, x) \frac{\partial \Psi_{n'}(k', x)}{\partial x} dk dk' dt \right\}. \quad (3)$$

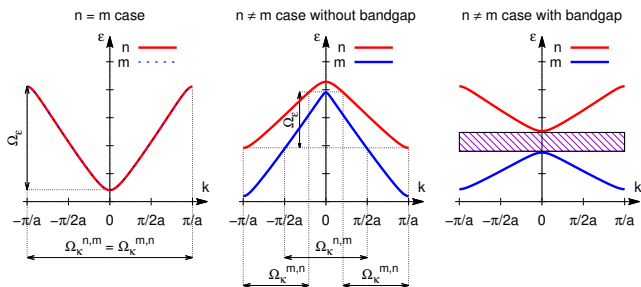
- szeparálhatóak a

$$\int_0^\infty e^{-i[\mathcal{E}_m(\kappa) - \mathcal{E}_n(\mathbf{k})]t} dt = \pi \delta(\mathcal{E}_m(\kappa) - \mathcal{E}_n(\mathbf{k})) - \frac{i}{\mathcal{E}_m(\kappa) - \mathcal{E}_n(\mathbf{k})}$$

integrálok Q_a és Q_c -ben egyaránt.

Bloch-elektronok

- $$\int_0^{\infty} e^{-i[\mathcal{E}_m(\kappa) - \mathcal{E}_n(\mathbf{k})]t} dt = \pi \delta(\mathcal{E}_m(\kappa) - \mathcal{E}_n(\mathbf{k})) - \frac{i}{\mathcal{E}_m(\kappa) - \mathcal{E}_n(\mathbf{k})}$$



- tételezzük fel, hogy a tiltott sávok direkték, ekkor a kölcsönhatástól távol az $n \neq m$ tagok kiesnek,
- Bloch-elektronok esetén fennáll, hogy $\omega_n(k) = \omega_n(-k)$,

Analitikus számítások

- Q_a -t két részre bontjuk $Q_a(x) = Q'_a(x) + Q''_a(x)$,
-

$$Q'_a(x) = \frac{\hbar}{m} \operatorname{Im} \left\{ \pi \sum_n \int_{BZ} \frac{|c_n(k)|^2}{|\omega'_n(k)|} \Psi_n^*(k, x) \frac{\partial \Psi_n(k, x)}{\partial x} dk + \pi \sum_n \int_{BZ} \frac{c_n^*(k)c_n(-k)}{|\omega'_n(-k)|} \Psi_n^*(k, x) \frac{\partial \Psi_n(-k, x)}{\partial x} dk \right\}, \quad (4)$$

$$Q''_a(x) = \operatorname{Im} \left\{ \frac{-i\hbar}{m} \sum_{n,n'} \int_{BZ} \oint_{\Omega_+} \frac{c_n^*(k)c_{n'}(k')}{\omega_{n'}(k') - \omega_n(k)} \times \Psi_n^*(k, x) \frac{\partial \Psi_{n'}(k', x)}{\partial x} dk' dk \right\} \quad (5)$$

Analitikus számítások

- $Q'_a(x)$ átlagolása az egység cellára



$$\overline{Q'_a}(x) = \frac{1}{a} \int_{x-a/2}^{x+a/2} Q'_\Phi(s) ds. \quad (6)$$

- felhasználva, hogy

$$\int_{-a/2}^{a/2} \Psi_n^*(k, x) (-i\hbar) \frac{\partial \Psi_n(k, x)}{\partial x} dx = \frac{1}{N} \omega'_n(k). \quad (7)$$



$$\overline{Q'_\Phi} = \frac{\pi}{L} \sum_n \int_{BZ} \text{sgn} [\omega'_n(k)] |\phi_n(k)|^2 dk, \quad (8)$$

- $Q_a''(x)$ átlagolása + térbeli limesz + két eredmény összegzése

-

$$\begin{aligned}\overline{Q_a}(x \rightarrow \infty) &= \frac{\pi}{L} \left(\sum_n \int_{BZ} (1 + \operatorname{sgn}[\omega'(k)]) |c_n(k)|^2 dk \right) \\ &= \frac{2\pi}{L} \sum_n \int^+ |c_n(k)|^2 dk,\end{aligned}\tag{9}$$

$$\overline{Q_a}(x \rightarrow -\infty) = -\frac{2\pi}{L} \sum_n \int^- |c_n(k)|^2 dk.\tag{10}$$

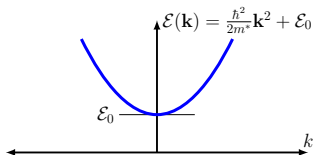
- Q_c hasonló lépésekkel meghatározható

$x \rightarrow \infty$ -re tehát

$$\begin{aligned} \overline{Q_d}(x \rightarrow \infty) &= \frac{2\pi}{L} \sum_n \int^+ |c_n(k)|^2 dk \\ &+ \begin{cases} \frac{4\pi}{L} \operatorname{Re} \{c_{n_0}(k_0)\} & \text{if } \omega'_{n_0}(k_0) > 0 \\ 0 & \text{otherwise,} \end{cases} \end{aligned} \quad (11)$$

Kvázi szabad részecske

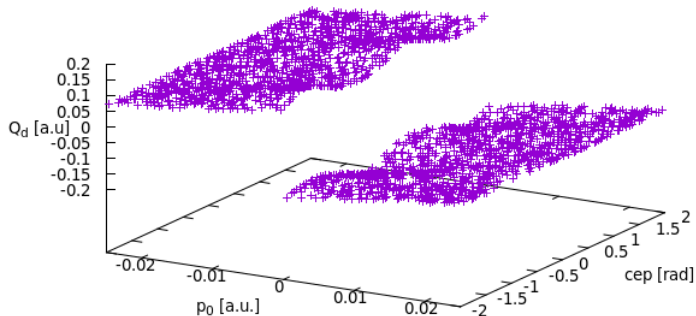
- parabolikus diszperziós reláció



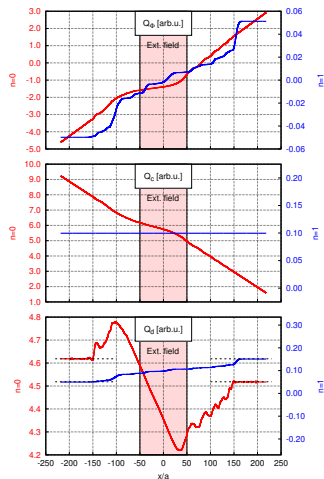
- egyetlen sáv
- analitikusan számolható töltés

$$Q_d(x) = -\frac{m^*}{m} \int_{-\infty}^{-} \tilde{\rho}_{\mathcal{A}}(k) dk + \frac{m^*}{m} \int_{-\infty}^x \rho_{\mathcal{A}}(s) ds$$
$$+ 2\text{Re} \left\{ \frac{1}{\sqrt{L}} \int_{-\infty}^x \Psi_{\mathcal{A}}(x') e^{-ik_0 x'} dx' \right\} - \begin{cases} \frac{4\pi}{L} \text{Re} \left\{ \tilde{\Psi}_{\mathcal{A}}(k_0) \right\} & \text{ha } k_0 < 0 \\ 0 & \text{különben} \end{cases}$$

Numerikus eredmények



Numerikus eredmény



- A $Q_d(x)$ mennyiség (önkényes egységekben) két, kvadratikus diszperzióval rendelkező sáv numerikusan számolt gerjesztése után.
- A paraméterek: A lézerimpulzus központi hullámhossza 800 nm, csúcstéroróssége 1 GV/m, hossza 10 optikai ciklus. A tiltott sáv szélessége 3 eV, $k_0a = 0.1$.

- Megmutattuk, hogy ismerve az anyagi rendszer állapotát a kölcsönhatás után, a lézerimpulzus által elmozdított összes töltés analitikusan kiszámítható.
- Ez az eredmény jó kiindulópontot szolgáltat ahhoz, hogy elméleti úton megvizsgálhassuk, a lézertér paraméterei milyen mértékben határozhatók meg az általa elmozdított töltés megméréssel.

Köszönöm a megtisztelő figyelmet!